

## EQUAÇÕES PARA ESCOAMENTO EM TUBOS COM CORRUGAÇÃO ANELAR

Eng° Luiz Camargo

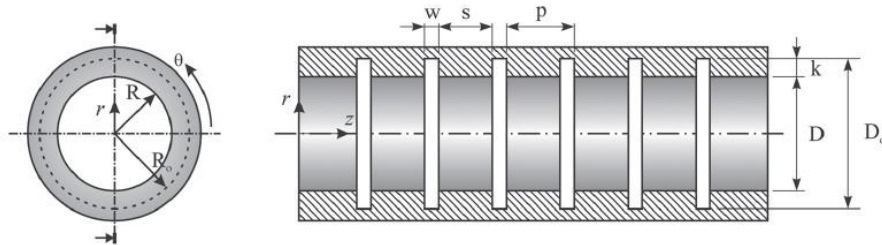
À semelhança da equação de Colebrook, Stel et al (2012), propõe, para determinação do fator de atrito  $f$  em escoamento em tubos corrugados anelares a seguinte equação:

$$\frac{1}{\sqrt{f}} = -2,05 \log_{10} \left( \frac{w/D}{63,2} + \frac{2,3}{R_e \sqrt{f}} \right) \quad (1)$$

válida, segundo os autores, para  $5000 \leq R_e \leq 100000$ ,  $0,0075 \leq w/D \leq 0,045$ ,  $w/k \leq 2$  e  $s/D = 0,11$  onde  $w$  é a largura da cavidade do corrugado,  $k$  é a altura da cavidade do corrugado,  $s$  é o afastamento entre corrugados,  $D$  é o diâmetro do tubo e  $R_e$  é o número de Reynolds. Informam os autores que simulações adicionais realizadas para  $s/D = 0,165$  verificou-se que para este caso o fator de atrito é 6,5% maior do que aquele obtido com  $s/D = 0,11$ . Contudo, informam, esta equação fornece uma boa estimativa para o fator de atrito com valores de  $s/D$  ligeiramente maiores que 0,11.

Em comunicado pessoal um dos autores (Stel, H.) informa que em aplicações práticas, uma variação de 6,5% no fator de atrito fica em muitos casos dentro do próprio limite de incertezas dos instrumentos de medição, e que, portanto, para aplicações de engenharia, pode-se considerar a faixa  $0,11 \leq s/D \leq 0,165$  satisfatória. Stel destaca dois detalhes importantes: se o espaçamento entre as corrugações for muito grande (digamos  $s > 8w$ ), as cavidades se tornam tão espaçadas que, na prática, o tubo se comportaria como "não-corrugado" e que neste caso equações para tubo liso ou a de Colebrook poderiam ser usadas diretamente. Ressalta também que o trabalho parte do princípio de que o material do espaçamento é liso, ou muito próximo disso, ou seja, a única rugosidade relevante avaliada é a da própria cavidade. Se o material do tubo for naturalmente muito rugoso (como um aço bastante desgastado), o fator de atrito deve ser ainda maior, e esse efeito não foi investigado em seu trabalho.

A figura a seguir ilustra a configuração de tubo com corrugações anelares:



Da equação de Darcy-Weisbach tem-se:

$$f = \frac{J\pi^2 g D^5}{8Q^2} \quad \therefore \quad \frac{1}{\sqrt{f}} = \sqrt{\frac{8Q^2}{J\pi^2 g D^5}} \quad (3)$$

Número de Reynolds:

$$R_e = \frac{4Q}{\pi D v} \quad (4)$$

Levando as eqs. (3) e (4) na eq. (1), obtém-se:

$$\sqrt{\frac{8Q^2}{J\pi^2 g D^5}} = -2,05 \log_{10} \left( \frac{w/D}{63,2} + \frac{2,3 \cdot v}{\sqrt{2J\pi^2 g D^3}} \right) \quad (5)$$

Da eq. (5) deduz-se que:

$$Q = -\frac{2,05\pi}{4} \sqrt{2gJD^5} \cdot \log_{10} \left( \frac{w/D}{63,2} + \frac{2,3 \cdot \nu}{\sqrt{2gJD^3}} \right) \quad (6)$$

$$V = -2,05 \sqrt{2gJD} \cdot \log_{10} \left( \frac{w/D}{63,2} + \frac{2,3 \cdot \nu}{\sqrt{2gJD^3}} \right) \quad (7)$$

$$J = \left( \frac{2}{2,05} \right)^2 \cdot \frac{2Q^2}{\pi^2 g D^5} \left[ -\log_{10} \left( \frac{w/D}{63,2} + \frac{2,3 \cdot \nu}{\sqrt{2gD^3 J_o}} \right) \right]^{-2} \quad (8)$$

$$D = \left( \frac{2}{\pi^2 J g} \right)^{0,2} \cdot \left( \frac{2Q}{2,05} \right)^{0,4} \cdot \left[ -\log_{10} \left( \frac{w/D_o}{63,2} + \frac{2,3 \cdot \nu}{\sqrt{2JgD_o^3}} \right) \right]^{-0,4} \quad (9)$$

onde:

$D$  = diâmetro interno (m)

$Q$  = vazão (m<sup>3</sup>/s)

$J = h_f/L$  = perda de carga unitária (mca/m)

$h_f$  = perda de carga total (mca)

$L$  = comprimento do tubo (m)

$V$  = velocidade do líquido (m/s)

$f$  = fator de atrito (adimensional)

$g$  = aceleração da gravidade (m/s<sup>2</sup>)

$w$  = largura da cavidade do corrugado (m)

$k$  = profundidade da cavidade do corrugado (m)

$\nu$  = viscosidade cinemática do líquido (m<sup>2</sup>/s) =  $\mu$ (kg/m.s)/ $\rho$ (kg/m<sup>3</sup>)

$\rho$  = densidade (kg/m<sup>3</sup>) (água a 20 °C:  $\rho = 998,2$  kg/m<sup>3</sup>)

$\mu$  = viscosidade, ou viscosidade absoluta, ou viscosidade dinâmica

Obs: (Pa.s)=(N.s/m<sup>2</sup>)=(kg/m.s)=(1/9,806).(kgf.s/m<sup>2</sup>)

Ref.: Stel, H. et al; "Turbulent Flow in D-Type Corrugated Pipes: Flow Pattern and Friction Factor", Journal of Fluids Engineering, ASME, vol. 134, Nov., 2012.

LC - 19/07/2015.